

# شیمی کانی کلینوپیروکس در ارزیابی دما-فشار و ژنز بازالت‌های متاسوماتیسمی سازند هرمز در گنبدهای نمکی گچین و جزیره هرمز، جنوب ایران

رقیه نعمتی<sup>(۱)</sup>، علی کنعانیان<sup>(۲)</sup>، محمدعلی مکی‌زاده<sup>(۳)</sup> و صدیقه تقی‌پور<sup>(۴)</sup>

۱. دانشآموخته کارشناسی ارشد پترولوزی، دانشکده زمین‌شناسی، پردیس علوم، دانشگاه تهران
۲. دانشیار دانشکده زمین‌شناسی، پردیس علوم، دانشگاه تهران
۳. استادیار دانشکده زمین‌شناسی، دانشکده علوم، دانشگاه اصفهان
۴. دانشآموخته دکتری پترولوزی، دانشکده زمین‌شناسی، پردیس علوم، دانشگاه تهران

تاریخ دریافت: ۹۶/۰۲/۰۲

تاریخ پذیرش: ۹۶/۰۶/۱۵

## چکیده

گنبدهای نمکی گچین و هرمز متشکل از سازند هرمز، در استان هرمزگان و منطقه زاگرس چین خورده واقع شده‌اند. براساس مطالعات سنگ‌شناسی، کانی‌های سنگ‌های بازالی در دو مرحله تشکیل شده‌اند؛ ابتدا کانی‌های آذرین: کوارتز، فلدسپار، پیروکسن، آمفیبول و سپس کانی‌های متاسوماتیسمی: ترمولیت-اکتینولیت، کلریت، اپیدوت، کلسیت، بیوتیت، آلبیت و اکسید آهن. متاسوماتیسم شدید در منطقه، کانی‌های تشکیل‌دهنده سنگ‌ها را تغییر داده است؛ ولیکن اکثر کلینوپیروکسن‌ها برخلاف سایر کانی‌ها، بدون تغییر باقی‌مانده‌اند، بنابراین از شیمی کلینوپیروکسن‌ها جهت تشخیص طبیعت و محیط تکتونیکی ماجمای مادر در سازند هرمز منطقه استفاده شد. آنالیز نقطه‌ای میانگین ترکیب کلینوپیروکسن‌های گنبد نمکی گچین را اوژیت ( $Wo_{27.66}En_{45.44}Fs_{26.91}$ ) و کلینوپیروکسن‌های گنبد نمکی هرمز را اوژیت تا دیوپسیت ( $Wo_{43.36}En_{32.71}Fs_{23.93}$ ) نشان داد. این کانی‌ها از گروه کلسیم-اسکولا هستند. نمودارهای شیمیایی براساس ترکیب کلینوپیروکسن‌ها، نمونه‌های گنبد نمکی هرمز را از نوع بازالت‌های جزایر قوسی و گنبد نمکی گچین را از نوع بازالت‌های توئیتی درون قاره‌ای و با طبیعت ساب آلکالن معروفی می‌کنند. میانگین دمای تقریبی تشکیل کلینوپیروکسن‌ها برای گنبد هرمز ۸۷۵ درجه سانتی‌گراد، جهت گنبد گچین ۹۹۷ سانتی‌گراد و فشار تشکیل آنها کمتر از 2kb به دست آمد.

واژه‌های کلیدی: سازند هرمز، گنبد نمکی، کلینوپیروکسن، ترموبارومتری، محیط تکتونیکی.

## مقدمه

هرمز واقع در استان هرمزگان می‌باشد و حاصل دیاپیریسم نمک هستند (Walthman, 2008). سنگ‌های آذرین این مجموعه متحمل متاسوماتیسم شدید شده‌اند. از آثار این پدیده در گنبدها می‌توان به ظهور کانی‌های جدید از قبیل آلبیت، الیثیست، ریبکیت، اژیرین،

گنبدهای نمکی جنوب ایران به لحاظ دارا بودن سنگ‌های آذرین و دگرگونی منحصر به فرد بوده و حدود ۸۰ درصد آنها دارای سنگ‌های آتشفسانی می‌باشند (مرادی، ۱۳۸۲). گنبدهای نمکی مورد مطالعه شامل گچین و جزیره

\* نویسنده مرتبط: rnemati59@yahoo.com

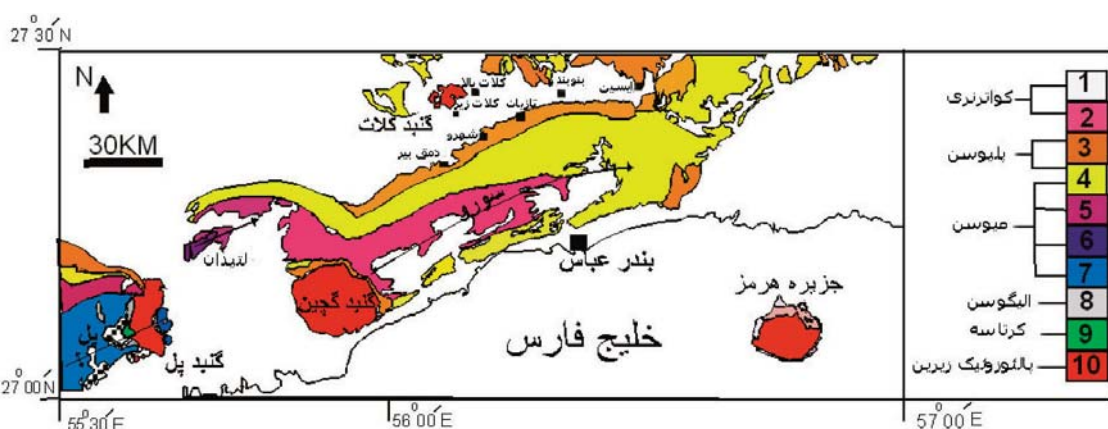
مانده است؛ کاربرد بهتری دارد. کلینوپیروکس سن نقش مهمی در مطالعه پترولوجی آذربایجان دارد و امکان مطالعه تغییرات مذاب اولیه حاصل از گوشته را فراهم می‌کند (Johnson and Dick, 1992) و به عنوان یک فاز تفریقی در عمق، نقش مهمی را در مطالعه ژئوشیمی آذربایجان ایفا می‌کند (Damascene et al., 2002). در واقع ترکیب فنوکریست این کانی ثبت کننده تاریخچه رشد بلوری آن طی تحولات مagmaی و تفریق magmaی تحت شرایط مختلف دما، فشار، سرعت سرد شدن و دیگر پارامترها است (Azomov et al., 2001).

جهت این مطالعات گنبدهای نمکی گچین و جزیره هرمز انتخاب شدند تا بدون تاثیرات متاسوماتیسم بر کلینوپیروکسن‌ها، بتوان نتیجه‌گیری بهتری از خصوصیات magmaی سازند هرمز به دست آورد. پس از جمع‌آوری ۱۸۰ نمونه و تهیی مقاطع نازک، توسط میکروسکوپ پلاریزان لایتر و المپوس-2 BH مطالعات کانی‌شناسی، سنگ‌شناسی و تا حد ممکن میزان دگرسانی سنگ‌ها و تغییرات کانی‌ها انجام شد. جهت بررسی دقیق ترکیب کانی‌های کلینوپیروکسن آنالیز میکروپروروب با دستگاه پرورب مدل SX50 با سه طیف‌سنج در دپارتمان علوم زمین دانشگاه تورonto کانادا انجام شد؛ ولتاژ شتابدهنده ۱۴KV و شدت جریان ۱۵nA و ۱um پرتو نامترکر، جهت فازهای بی‌آب بوده است.

اپیدوت، کوارتز و کلریت اشاره کرد (درویش زاده، ۱۳۶۹؛ سبزه‌ای، ۱۳۶۸؛ جعفری‌صدر، ۱۳۷۰ و مرادی، ۱۳۸۲). متاسوماتیسم تقریباً در تمام سنگ‌های آذربایجان منطقه با نسبت‌های متفاوت گزارش شده و با آنالیز این سنگ‌های آذربایجان متاسوماتیسمی، نظریه‌های متفاوتی جهت تعیین نوع و طبیعت magmaی سازند هرمز ارائه شده است که به شرح ذیل می‌باشد:

شوشونیتی: الیاسی و همکاران (۱۳۵۵)؛ آکالان سدیک: سبزه‌ای (۱۳۶۸)؛ آکالان پتاسیک: درویش زاده (۱۳۶۹)؛ کالکوآکالان: جعفری‌صدر (۱۳۷۰)، مرادی (۱۳۸۲)، روند تفریق را کالکوآکالان و بازالت‌ها را تولیتی تا تحولی و تقی‌پور (۱۳۸۶) در منطقه زاگرس بلند طبیعت magma را ساب آکالان با گرایش به آکالان معرفی می‌کنند. با توجه به تعدد نظریه‌ها و نیز در دسترس نبودن سنگ‌های آذربایجان بدون تاثیر متاسوماتیسم، جهت تعیین محیط تکتونیکی، طبیعت و خصوصیات magmaی مادر سنگ‌های آذربایجان سازند هرمز، کلینوپیروکسن‌های سالم موجود در بازالت‌ها استفاده شد تا نتیجه قابل اعتمادی به دست آید.

کلینوپیروکسن یکی از مقاومترین کانی‌ها در برابر دگرسانی است. در مورد بازالت‌های دگرسان شده که هسته فنوکریست‌های کلینوپیروکسن از لحاظ شیمیابی بی‌تغییر



شکل ۱. نقشه زمین‌شناسی و موقعیت گنبدهای مورد مطالعه برگرفته از فخاری، ۱۳۷۴. ۱) رسوبات عهد حاضر: رس، مارل و گراول، ۳) سازند بختیاری: کنگلومرا، ۴) سازند آغازاری: ماسه‌سنگ و مارل قرمز، ۵) سازند میشان: مارل خاکستری، ۶) گوری ممبر: سنگ آهک، ۷) سازندگچساران: مارل، انیدریت و کمی نمک، ۸) سازند آسماری: سنگ آهک، ۹) گروه بنگستان: شیل بیتومینه و سنگ آهک، ۱۰) سری هرمز، گنبدها و سنگ‌های نمکی: رسوبات پالئوزوئیک و سنگ‌های آذربایجان قدیمی

شده است. سازند میشان در جنوب، جنوب غرب و نیز در غرب و شرق جزیره دیده می‌شود. واحد H1 سازند هرمز در بخش‌های مرکزی جزیره به صورت لایه‌های قرمز رنگ نمک با تناوبی از آهک و مارن و توف دیده می‌شود و تقریباً هر چهار واحد سازند هرمز در جزیره حضور دارند. البته به علت بهم ریختگی شدید امکان پی گیری یک لایه خاص در جزیره به طور پیوسته وجود ندارد. H2: ریولیت، ایگنمبریت، همراه لایه‌های مارن، ماسه سنگ، اخرا، زیپس است. H4: توف، ماسه سنگ و زیپس است. مرز H2 و H3 با لایه‌های زیپس، اخرا با میان لایه‌های ماسه سنگی مشخص می‌گردد (مرادی ۱۳۸۲).

نمونه‌های فنوکریست کلینوپیروکسن به صورت رگه‌های مشخص قابل مشاهده است (شکل ۲).

### گنبد نمکی گچین

گنبد نمکی گچین، گنبدی کم ارتفاع در فاصله ۳۵ کیلومتری جنوب غرب بندرعباس است. از لحاظ کانی‌شناسی و سنگ‌شناسی مشابه گنبد نمکی هرمز می‌باشد و سنگ‌های آذرین متنوع دارد. بخش عمده گنبد را واحد H1 می‌سازد و دیگر واحدها به صورت حلقه‌ای در اطراف بخش مرکزی حضور دارند (مرادی، ۱۳۸۲).



(ب) قطعات مجتمع فنوکریست‌های کلینوپیروکسن

### زمین‌شناسی گنبد‌های مورد مطالعه

منطقه مورد مطالعه متعلق به زون چین خورده زاگرس است (شکل ۱). در طول پروتوزوئیک پسین، فاز پان افیریکن بر ایران اثر نموده و در اوخر این فاز، حوضه‌ای پلاتفرم تشکیل گردیده است. اولین رسوباتی که در این حوضه تهنشین شدند؛ رسوبات تبخیری مانند نمک و گچ بوده‌اند. رسوبات مذکور را، سازند هرمز نامیده‌اند (Blanford, 1972). این سازند از چهار واحد به شرح ذیل تشکیل شده است: H1: واحد نمکی که پایین‌ترین بخش سازند هرمز را تشکیل می‌دهد. H2: لایه‌ایی از مارن-انیدریت، توف، ایگنمبریت، سنگ آهن و سنگ‌های آتش‌شانی اسیدی. H3: کربنات‌های جلبکی سیاه رنگ و بد بو. H4: تناوبی از ماسه سنگ، مارن، شیل، سنگ‌های آتش‌شانی اسیدی و بازیک (احمدزاده و همکاران، ۱۳۶۹). سنگ‌های آذرین در گنبد‌های نمکی جنوب ایران از تنوع زیادی برخوردارند (Talbot et al, 2009). این سنگ‌ها با ترکیب اسیدی و بازیک و به صورت درونی و بیرونی هستند.

### جزیره هرمز

جزیره هرمز با وسعت ۴۱ کیلومتر مربع، در ۱۸ کیلومتری شهر بندرعباس، در دهانه خلیج فارس (تنگه هرمز) واقع



(الف) رگه‌های بزرگ کلینوپیروکسن‌ها در کنار قطعاتی از بازالت و نمک

بافت غالب قابل مشاهده در بازالت‌ها شامل: پورفیری،

بادامکی و اینترس்டال است.

بافت آمیگدالوئیدال که حفرات آن توسط کلریت پر شده است، دیده می‌شود. بواسطه مطالعه پتروگرافی، بازالت بادامکی تشخیص داده شد که حفرات تحت تاثیر محلول‌های

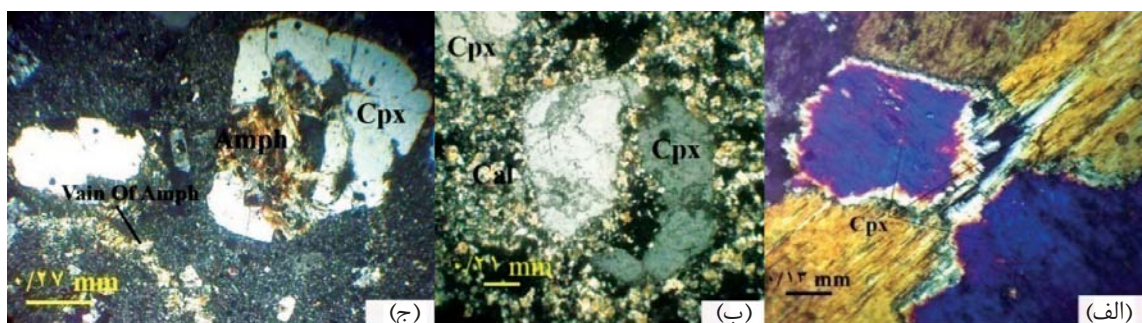
### سنگ نگاری

سنگ‌های بازالتی در نمونه دستی به رنگ‌های خاکستری تا خاکستری تیره و تا حدی سبز دیده می‌شوند. این سنگ‌ها حفره دارند و داخل حفرات توسط کانی‌های ثانویه ترمولیت-اکتینولیت، کلریت، کلسیت و کوارتز پر شده است.

سوسوریتی شدن را به خود اختصاص می‌دهد. در سنگ‌های بازالتی، متاسوماتیسم به صورت سوسوریتی و به میزان کمتر سریستی شدن پلاژیوکلازها، کلریتی شدن آمفیبول‌ها دیده می‌شود و تشکیل فنوکریست‌های آلبیت حاصل از متاسوماتیسم سدیک مشاهده می‌گردد. کانی‌های ثانویه کلریت، کلسیت، کوارتز و اپیدوت حفرات را پر کرده‌اند (شکل ۳-ب) و این سنگ‌ها متاسوماتیسم سدیک، کلسیک، منیزین و سیلیسی را به ترتیب متحمل گشته‌اند. در نمونه‌های گنبد نمکی جزیره هرمز شدت دگرسانی بیشتر از نمونه‌های گنبد گچین است و به علت تجزیه و دگرسانی بیشتر کانی‌ها، زمینه دانه ریزتر شده است. نبود استرس قوی جهت‌دار در این سنگ‌ها با رشد توده‌ای و بی‌جهت کانی‌های ثانویه در حفرات و رگه‌ها مشخص می‌گردد. فنوکریست‌های کلینوپیروکسن از نمونه‌های کاملاً سالم مشاهده می‌گردد (شکل ۳-ج). شده به اورالیت و اکتینولیت مشاهده می‌گردد (Deer et al., 1992).

$$5\text{Ca}(\text{Mg},\text{Fe})_5\text{Si}_2\text{O}_6 + \text{H}_2\text{O} + 3\text{CO}_2 \longrightarrow \text{Ca}_2(\text{Mg},\text{Fe})_5\text{Si}_8\text{O}_{22}(\text{OH})_2 + 3\text{CaCO}_3 + 2\text{SiO}_2$$

دگرسان کننده به‌وسیله کلریت و کلسیت پر شده‌اند (نقی‌پور، ۱۳۸۶). در مواردی بافت گلومروپورفیری توسط کلینوپیروکسن‌ها یا با همراهی پلاژیوکلازها دیده می‌شود (شکل ۳-الف). کانی‌های غالب پیروکسن (درصد ۳۴-۱۹) و پلاژیوکلاز (درصد ۴۰-۱۵) می‌باشند. مقدار فلدسپات‌ها به دلیل متاسوماتیسم متغیر می‌باشد. کوارتز، کلسیت، کانی‌های رسی، کانی‌های اپک، ترمولیت-اکتینولیت‌های ثانویه زمینه سنگ را پر کرده‌اند. کلینوپیروکسن‌ها با ابعادی تا سه میلی‌متر متغیر و اکثراً یوهدرال هستند. کلینوپیروکسن‌های رگه‌ای و شکسته شده نیز مشاهده می‌شود. پلاژیوکلازهای شدیداً دگرسان شده در کنار پیروکسن‌های کاملاً سالم مشاهده می‌شوند. این تضاد ممکن است در اثر اختلاف در ترکیب سیال، نسبت آب به سنگ و پارامترهای فیزیکوشیمیایی دیگر باشد. حضور کلینوپیروکسن آلتره نشده ممکن است دلیلی بر این باشد که سیال موثر، بیشتر از ترکیب کلی سنگ آلومنیه است (Frey, 1987). پلاژیوکلازها سوسوریتی و به میزان کمتر سریستی شده‌اند. در سوسوریتی شدن آنورتیت به اپیدوت و پلاژیوکلاز باقی مانده به آلبیت تبدیل شده است. اپیدوت حاصل از فلدسپات‌ها بیشترین مقدار از کانی‌های محصول



شکل ۳. (الف) تجمعی از کلینوپیروکسن‌ها با مرزهایی مضرس (G.N.A.c)، (ب) فنوکریست یوهدرال شکسته شده کلینوپیروکسن در زمینه‌ای از اپیدوت و کلسیت (H.PX1)، (ج) کلینوپیروکسن در حال اورالیتی شدن (H.P.3.a)

کانی در دو گنبد نمکی باشد. براساس تقسیم‌بندی اسمیت و چنی نقل از (Wen et al., 2001)، پیروکسن‌هایی که از رابطه زیر تبعیت کنند جز کلینوپیروکسن‌های بسیار پر سیلیس و کلسیم-اسکولا قرار می‌گیرند. پیروکسن‌های گچین و هرمز دارای این ویژگی هستند.

### شیمی کلینوپیروکسن‌ها

براساس داده‌های میکروپروب درصد اکسیدهای عناصر اصلی براساس شش اتم اکسیژن محاسبه گردید (جدول ۱ و ۲). تفاوت در میان نوع کلینوپیروکسن و تغییرات عناصر بین دو گنبد مشخص است که می‌تواند به دلیل ژئو متفاوت این

گچین، اوژیت با فرمول  $(Mg_{0.840}, Fe_{0.245})(Ca_{0.511}, Na_{0.017})$  و نمونه‌های جزیره هرمز در محدوده اوژیت  $Ca_{0.785}(Mg_{0.638}, Fe_{0.191})(Si_{2.030})$  قرار می‌گیرند (شکل ۵).

فرمول ساختاری پیروکسن‌ها براساس شش اتم اکسیژن و چهار کاتیون محاسبه می‌گردد (Viten and Hamm, 1978).

$(Si, Al^{4+})_2O_6(Ca, Na, Mg, Fe^{2+}, Mn, Ni, Li, Al^{6+}, Fe^{3+}, Cr^{3+}, Ti)_2$

$(Si+Ti) > (Ca+Mg+Fe^{2+}+Mn-Ni-2Na)$  در مقایسه نمونه‌های گچین در برابر هرمز، میزان سیلیس بیشتر، آلومنیوم و کلسیم کمتری دارند. این تفاوت‌ها می‌تواند مربوط به اختلاف درجه تفرق باشد (Arvin, 1991).

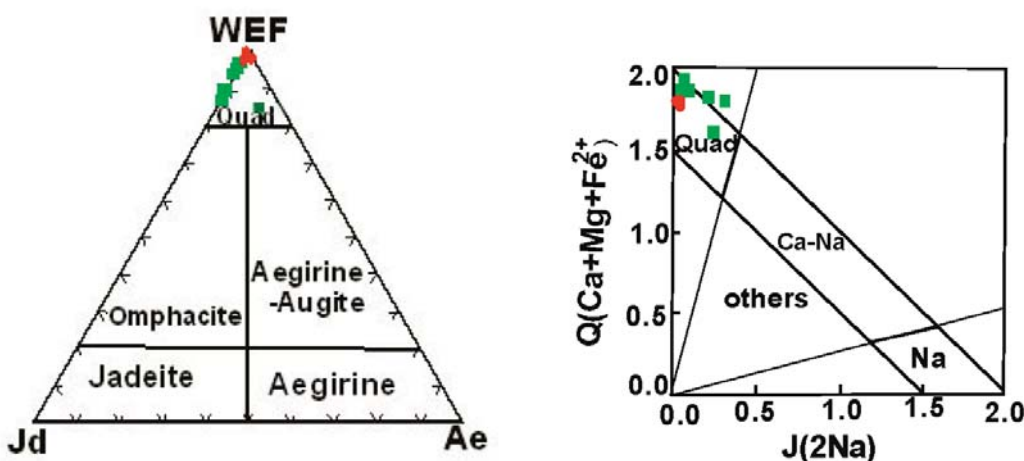
در نمودار Q-J (Morimoto, 1989) پیروکسن‌ها در محدوده پیروکسن‌های آهن-منیزیم-کلسیم قرار می‌گیرند (شکل ۴). فنوکریست‌های پیروکسن در دو محدوده دیوپسید-اوژیت و با تفکیک منطقه‌ای، کلینوپیروکسن‌های گنبد

جدول ۱. نتایج آنالیز میکروپروب کانی‌های کلینوپیروکسن گنبد نمکی گچین و کاتیون‌ها که بر اساس شش اتم اکسیژن محاسبه شده است

Sample	G.N.A.c.2	G.N.A.e.1	G.N.A.e.2	G.N.A.f.2.a	G.N.A.f.2.c
$SiO_2$	۵۵/۵۷۵	۵۵/۳۵۲	۵۵/۳۲۶	۵۵/۵۵۴	۵۱/۴۲۲
$TiO_2$	۰/۰۰۰	۰/۰۰۰	۰/۰۰۰	۰/۰۰۰	۰/۰۰۰
$Al_2O_3$	۰/۵۲۰	۰/۷۱۳	۰/۱۳۴	۰/۵۳۰	۱۲۰۵
FeO	۰/۰۰۰	۰/۰۰۰	۰/۰۰۰	۰/۰۰۰	۰/۰۰۰
$Fe_2O_3$	۱۴/۳۴۵	۱۵/۵۶۴	۱۶/۰۰۰	۱۴/۵۰۰	۱۶/۳۰۹
$Cr_2O_3$	۰/۰۰۰	۰/۰۰۰	۰/۰۰۰	۰/۰۰۰	۰/۰۰۰
MnO	۰/۲۴۶	۰/۲۰۲	۰/۲۳۵	۰/۲۴۵	۰/۲۳۵
MgO	۱۵/۶۴۳	۱۴/۸۴۰	۱۴/۴۸۱	۱۵/۶۳۰	۱۲/۶۸۱
CaO	۱۲/۴۸۲	۱۲/۴۲۹	۱۲/۷۶۶	۱۲/۵۰۱	۱۱/۷۸۵
$Na_2O$	۰/۲۰۷	۰/۲۵۴	۰/۲۰۹	۰/۲۰۶	۰/۲۸۷
$K_2O$	۰/۰۴۸	۰/۰۸۱	۰/۰۰۲	۰/۰۴۵	۰/۱۱۹
sum	۹۹/۰۶۶	۹۹/۴۴۵	۹۹/۱۵۳	۹۹/۲۱۱	۹۴/۰۴۳
Si	۲/۱۳۱	۲/۱۲۷	۲/۱۴۱	۲/۱۲۸	۲/۱۰۹
Al	۰/۰۲۳	۰/۰۳۲	۰/۰۰۶	۰/۰۲۴	۰/۰۵۸
Fe	۰/۴۱۳	۰/۴۵۰	۰/۴۶۶	۰/۴۱۷	۰/۵۰۳
Ti	۰/۰۰۰	۰/۰۰۰	۰/۰۰۰	۰/۰۰۰	۰/۰۰۰
Cr	۰/۰۰۰	۰/۰۰۰	۰/۰۰۰	۰/۰۰۰	۰/۰۰۰
Mg	۰/۸۴۹	۰/۸۵۰	۰/۸۳۶	۰/۸۹۳	۰/۷۷۵
Mn	۰/۰۰۸	۰/۰۰۷	۰/۰۰۸	۰/۰۰۸	۰/۰۰۸
Ca	۰/۵۱۳	۰/۵۱۲	۰/۵۲۹	۰/۵۱۳	۰/۵۱۸
Na	۰/۰۱۵	۰/۰۱۹	۰/۰۱۶	۰/۰۱۵	۰/۰۲۳
K	۰/۰۰۲	۰/۰۰۴	۰/۰۰۰	۰/۰۰۲	۰/۰۰۶
Sum_cat	۳/۹۵۴	۴/۰۰۱	۴/۰۰۲	۴/۰۰۰	۴/۰۰۰
WO	۲۸/۰۴۵	۲۸/۱۶۳	۲۸/۸	۲۸/۰۱۹	۲۸/۷۰۳
EN	۴۸/۹۰۴	۴۶/۷۵	۴۵/۴۵۵	۴۸/۷۴۴	۴۲/۹۷۴
FS	۲۳/۰۵۱	۲۵/۰۸۷	۲۵/۷۴۵	۲۳/۲۳۷	۲۸/۳۲۳

جدول ۲. نتایج آنالیز میکروپریوب کانی‌های کلینوپیروکسن گنبند نمکی هرمز و کاتیون‌ها که براساس شش اتم اکسیژن محاسبه شده است

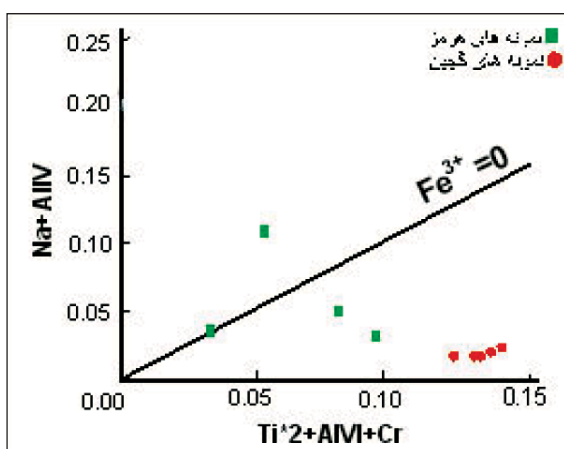
Sample	h.p.3.a	h.p.3.b	h.p.3.c	H.PX1	H.PX2
SiO <sub>2</sub>	53/198	52/978	52/879	49/499	49/966
TiO <sub>2</sub>	0/...	0/...	0/031	0/456	0/049
Al <sub>2</sub> O <sub>3</sub>	0/534	0/901	0/742	7/994	0/172
FeO	13/588	12/402	13/012	0/...	0/...
Fe <sub>2</sub> O <sub>3</sub>	0/...	0/...	0/000	5/281	22/154
Cr <sub>2</sub> O <sub>3</sub>	0/...	0/...	0/000	0/924	0/...
MnO	0/098	0/144	0/109	0/066	0/136
MgO	91/32	10/203	10/543	17/241	5/152
CaO	21/201	20/980	20/101	17/188	19/861
Na <sub>2</sub> O	1/453	0/413	0/654	0/822	2/156
K <sub>2</sub> O	0/243	0/211	0/213	0/...	0/...
sum	99/447	98/230	98/284	99/471	99/650
Si	20/32	20/52	20/43	1/804	1/963
Al	0/024	0/041	0/034	0/344	0/008
Fe	0/434	0/402	0/420	0/145	0/723
Ti	0/...	0/...	0/001	0/013	0/001
Cr	0/...	0/...	0/000	0/027	0/...
Mg	0/520	0/589	0/607	0/937	0/302
Mn	0/003	0/005	0/004	0/002	0/005
Ca	0/868	0/871	0/832	0/671	0/836
Na	0/108	0/031	0/049	0/058	0/164
K	0/012	0/010	0/010	0/...	0/...
Sum_cat	4/001	4/001	4/000	4/001	4/001
WO	47/546	46/653	44/656	38/251	44/880
EN	28/495	31/568	32/589	53/387	16/200
FS	23/959	21/779	22/755	8/362	22/460



شکل ۴. نمودار مثلثی و Q-J طبقه‌بندی پیروکسین‌ها (Morimoto, 1989)، این نمونه‌ها در موقعیت سرشار از آهن، منیزیم و کلسیم قرار می‌گیرند

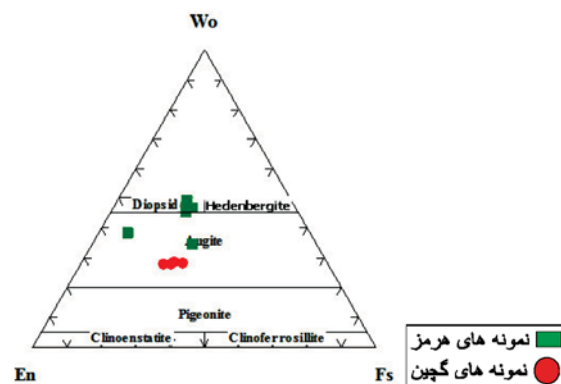
ذوب شدگی مرطوب منبع گوشه‌ای تهی شده با خروج ۲۰ تا ۳۰ درصد مایع حاصل از ذوب باشد (Mordic and Glazner, 2006). بنابراین استنباط می‌شود که نمونه‌ها موید مناطق جزایر قوسی و تولید شدن از ذوب مرطوب منبع گوشه‌ای تهی شده باشند. همان‌طور که اشاره شد، مقدار  $TiO_2$  در کلینوپیروکسن‌ها به سرعت سرد شدن بستگی دارد؛ هرچه سرعت سرد شدن بالاتر باشد، میزان ضریب افزایش می‌یابد (Coish and Taylor, 1979). بنابراین سرعت سرد شدن ماقمای مادر بسیار کند بوده است. میزان کم آلومینیوم IV مرتبط با افزایش تفرق Si در ماقماهای غیر آلکالن و آلکالن معمولی می‌باشد؛ که درصد Al موقعیت کوردینانس تراهدرال کاهش می‌یابد و مقدار Al و Ti در کلینوپیروکسن‌های آلکالی بیشتر از کلینوپیروکسن‌های تولیتی می‌شود و نیز تیتانیوم کم و سیلیس بالا از ویژگی سنگ‌های آذرین کمان‌های آتش‌فشاری است (Le Bass, 1962). لذا طبیعت ماقمای بازالت‌ها، تولیتی و ساب آلکالن به نظر می‌رسد.

بر اساس نمودار تغییرات  $Al^{IV}+Na$  در مقابل  $Al^{VI}+2Ti+Cr$ ، مقدار آهن فریک پیروکسن‌ها تابعی از فوگاسیته اکسیژن در محیط تشکیل آنهاست. طبق این نمودار نمونه‌ها در پایین خط  $Fe^{3+}=0$  قرار می‌گیرند که به معنی کم بودن فوگاسیته اکسیژن در محیط تشکیل پیروکسن‌ها می‌باشد (شکل ۶).



شکل ۶. نمودار تغییرات  $Na+Al^{IV}$  در مقابل  $Al^{VI}+2Ti+Cr$  (Bence et al., 1975)

کلینوپیروکسن‌های هرمز در مقایسه با متوسط



شکل ۵. تقسیم‌بندی Wo-En-Fs جهت پیروکسن‌های (Morimoto, 1989) نمونه‌ها محدوده اوزیت (گندمکی گچین) و اوزیت تا دیوپسید (جزیره هرمز) را نشان می‌دهند

## بحث

منطقه‌بندی مشخصی در این فنوتکریست‌ها مشاهده نگردید، نبود منطقه‌بندی در پیروکسن‌ها می‌تواند ناشی از ماقمایی منشاً گرفته از یک مخزن ماقمایی هموزن باشد (Cathy and Nash, 2009).

سرعت سرد شدن مذاب بازالتی بر ترکیب کلینوپیروکسن‌ها اثر می‌گذارد؛ به این صورت که در سرعت‌های بالای سرد شدن کلینوپیروکسن از Ca, Mg, Fe<sup>2+</sup>, Si غنی می‌گردد (Mollo et al., 2010). میزان بسیار کم و حتی عدم وجود  $Fe^{3+}$ ,  $Ti$ ,  $Al^{IV}$  در نمونه‌ها دلیلی بر سرعت پائین سرد شدن ماقمایی بازالتی مولد این کلینوپیروکسن‌ها است؛ که خود موید توقف این ماقما در پوسته و احتمالاً تشکیل ماقمای ریولیتی است.

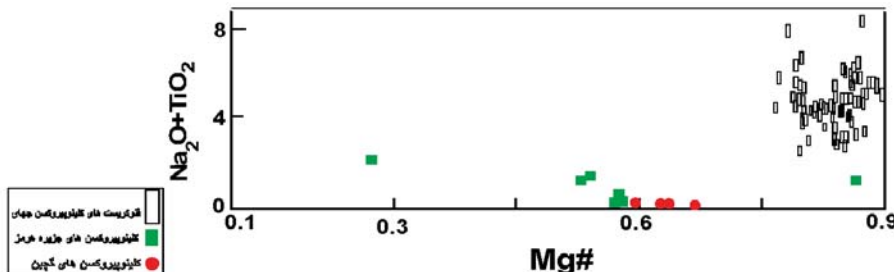
$Ti^{IV}$  می‌تواند جزء تشکیل اصلی کلینوپیروکسن‌ها باشد. عدم حضور تیتانیوم در این کلینوپیروکسن‌ها با دلایل زیر قابل توجیه است:

ایجاد ماقما از منبع گوشه‌ای تهی شده از تیتانیم منجر به تولید ماقمایی فقیر از تیتانیم می‌شود.

همچنین میزان بسیار کم تیتانیوم را مربوط به بونینیت‌ها و جزایر قوسی در مناطق سوپرا سابداکشن دانسته‌اند که از ذوب مرطوب گوشه‌ای فوقانی تهی شده، ماقمای حاوی آب تولید می‌گردد (Pearce and Norry, 1979). میزان تیتانیوم بسیار کم و منیزیم بالا می‌تواند مربوط به

مربوط به سرعت پائین سرد شدن ماگمای بازالتی حاوی کلینوپیروکسن باشد که سبب گشته میزان این عناصر در کلینوپیروکسن‌ها کاهش یابد (Mollo et al., 2010).

کلینوپیروکسنهای دنیا از لحاظ عدد منیزیم و نیز میزان اکسیدهای سدیم و تیتانیوم در حد کمتری قرار گرفته‌اند (شکل ۷). کمی سدیم، تیتانیوم و عدد منیزیم می‌تواند



شکل ۷. مقایسه کلینوپیروکسن‌های هرمز با فنوکریست‌های کلینوپیروکسن دنیا برگرفته از (Rogers and Grutter 2009)

میزان کمتری از آن وارد جریان تبلور پیروکسن می‌گردد. زمانی که میزان سدیم در مagma افزایش یابد در کلینوپیروکسن مقدار آن افزایش می‌یابد. تهی شدگی از اکسید تیتانیوم نیز می‌تواند به علت تهی شدگی این عنصر در magma به دلیل تبلور اکسیدهای آهن و تیتانیوم باشد و تغییرات  $TiO_2$  و  $Na_2O$  نتیجه تحول magma بازالتی است که به دلیل کاهش دما دچار تبلور می‌شود (Stone and Niu, 2009) (Akinin et al., 2005) و میزان کروم بسیار کم این کلینوپیروکسن‌ها آنها را در رده انواع فقیر از کروم قرار می‌دهد که به تبلور از مذاب‌های غنی از آهن نیاز دارند.

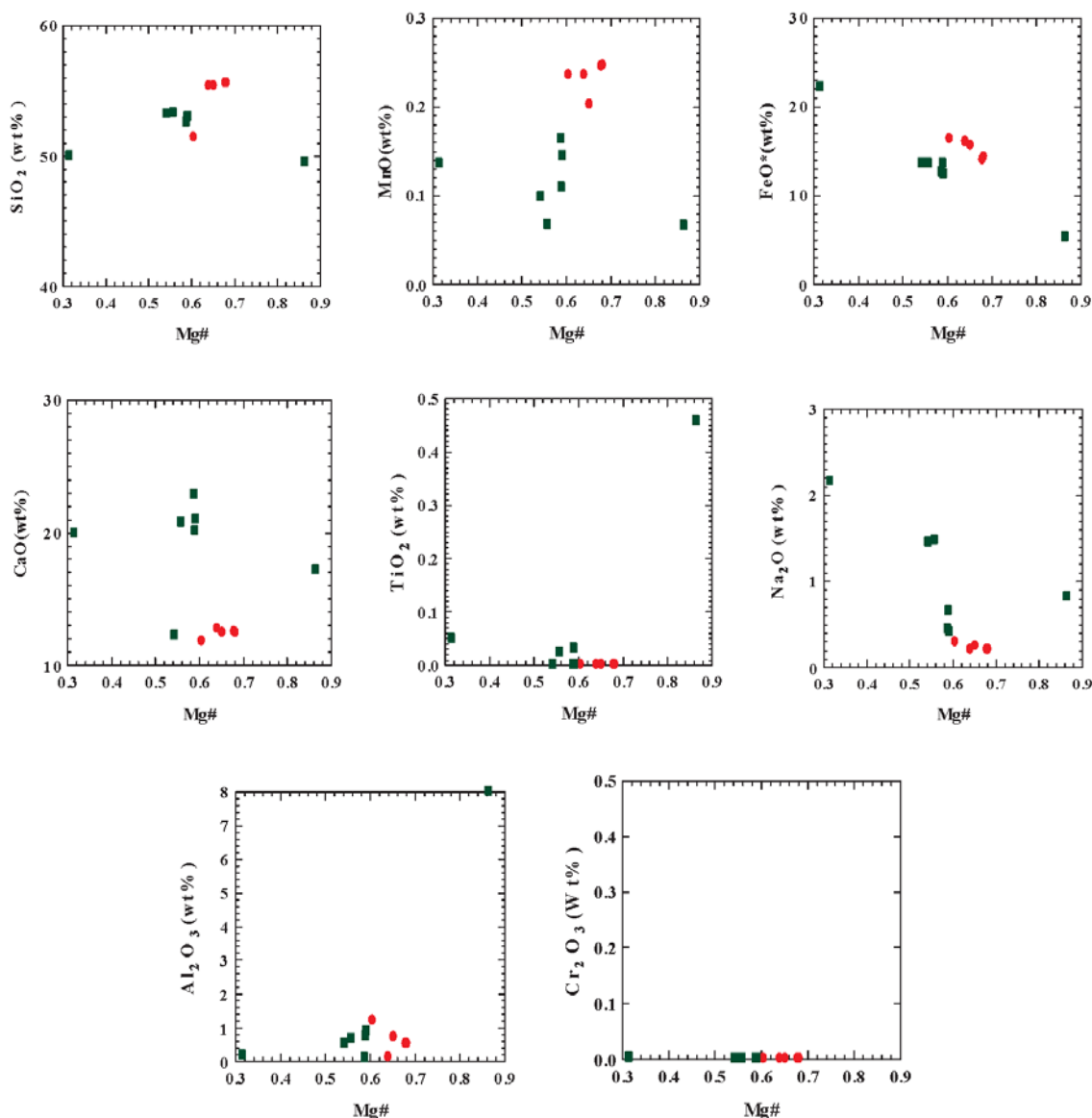
## سری ماگمایی و محیط زمین ساختی کلینوپیروکسن‌ها

ترکیب کلینوپیروکسن بخصوص فنوکریست‌های آن براساس شیمی گدازه میزان تغییر می‌کند و ترکیب آنها تفاوت‌های شیمیایی بین انواع magma‌های بازالتی را خیلی دقیق‌تر از ترکیب زمینه نشان می‌دهد (Leterrie et al., 1982) (Nisbet and Pearce, 1993) (Le Bass, 1962) و (Pearce, 1977) مکان‌های مختلف زمین ساختی بکار می‌رود (Nisbet and Pearce, 1991) در محدوده ساب آلکالن قرار می‌گیرند (شکل ۹).

نمودار نمونه‌ها در نمودار  $Na_2O$ - $TiO_2$  (Nisbet and Pearce, 1977) روش تشخیصی مفیدی جهت شناسایی محیط‌های تکتونیکی از آنالیز

نمودارهای دوتایی تغییرات کلینوپیروکسن در ترکیب پیروکسن‌ها سیلیس و اکسیدهای آلومینوم، آهن، منیزیم و کلسیم از اجزای اصلی هستند و اکسیدهای تیتانیوم، منگنز، پتاسیم و سدیم به میزان کمتر حضور دارند. به طور معمول پیروکسن‌ها غنی از  $Mg$  هستند و عدد منیزیم ( $Mg/Mg+Fe^{2+}$ ) به عنوان شاخصی جهت بررسی تغییرات ترکیب شیمیایی پیروکسن‌ها مورد استفاده قرار می‌گیرد. از نمودار تغییرات  $Mg\#$  در برابر سایر عناصر برپایه a.p.f.u استفاده می‌گردد. نمودارهای تغییرات فراوانی عناصر می‌تواند نشانه پیشرفت تفرقی magma باشد (شکل ۸). در بررسی این عناصر میزان منیزیم پیروکسن‌های منطقه گچین بیشتر از جزیره هرمز است. کلینوپیروکسن‌های گندم نمکی گچین نسبت به جزیره هرمز دارای آهن، سیلیس و منگنز بیشتر و سدیم و کلسیم کمتری هستند.

در این نمودارها  $CaO$ ،  $Al_2O_3$ ،  $FeO$  و  $MnO$  نسبت مستقیمی با  $Mg\#$  دارند در حالی که  $TiO_2$  (اکسید تیتانیوم) با در نظر گرفتن میزان بسیار ناچیز آن) و  $Na_2O$  نسبتی معکوس با  $Mg\#$  در کلینوپیروکسن دارند. کلینوپیروکسن‌های گندم نمکی گچین فاقد اکسید تیتانیوم هستند ولی نمونه‌های جزیره هرمز مقدار بسیار کمی اکسید تیتانیوم دارند. روند کاهش  $Na_2O$  در تبلور کلینوپیروکسن همراه با افزایش میزان عدد منیزیم می‌تواند به علت کاهش این اکسید در مذاب به دلیل تبلور پلاژیوکلاز غنی از سدیم باشد؛ که هرچه میزان اکسید سدیم در مذاب کاهش یابد،



شکل ۸. نمودارهای تغییرات ترکیب کلینوپیروکسن‌ها در برابر  $\text{Mg}^{\#}$

هستند و توزیع  $\text{H}^+$  و کلینوپیروکسن به رفتار  $\text{Al}^{\text{IV}}$  بستگی دارد.

هرچه میزان  $\text{Al}^{\text{IV}}$  کلینوپیروکسن‌ها کم باشد که مبین تبلور آنها از مآگمای کم آلومنیوم است، دارای کمترین مقدار ضریب توزیع  $\text{H}_2\text{O}$  بین کلینوپیروکسن و مذاب ( $D_{\text{H}_2\text{O}}^{\text{Cpx-melt}}$ ) است و نشان‌دهنده این است که کلینوپیروکسن که کانی بی‌آبی است؛ می‌تواند مقادیری آب را حمل کند. براین اساس کم بودن میزان  $\text{Al}^{\text{IV}}$  نشان می‌دهد که کانی بسیار کم آب یا بی‌آب است (O'Learly et al., 2010).

کلینوپیروکسن‌ها در سنگ‌های بازالتی است و مشکل تحرک شیمیایی در آن کاهش می‌یابد؛ اما به اندازه استفاده از عناصر کمیاب غیر متحرک موثر نیست (شکل ۱۰). بر این اساس آن نمونه‌های هرمز در منطقه بازالت‌های قوسی و گچین در محدوده تولیت‌های درون صفحه‌ای قرار می‌گیرند و اما در نمودار (Leterrier et al., 1982) که از عناصر Na, Al, Ca, Cr, Ti نمونه‌ها در محدوده تولیتی و کالک‌آلکالن قرار می‌گیرند. بازالت‌های مرتبط با مناطق قوسی، دارای مقادیری آب

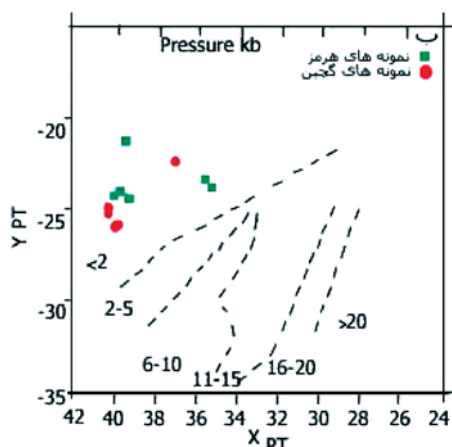
## ژئوترمومتری پیروکسن

نسبت  $\text{Al}^{\text{VI}}/\text{Al}^{\text{IV}}$  پیروکسن‌ها به عنوان معیاری برای سنجش فشار در پیروکسن‌ها استفاده می‌گردد. نسبت کمتر از واحد  $\text{Al}^{\text{VI}}/\text{Al}^{\text{IV}}$  را نشانگ تشكیل این کانی در فشار کمتر از ۱۰ کیلوبار می‌دانند (Wass, 1979); که در مورد نمونه‌های آنالیز شده صادق است. محاسبات بر اساس فرمول (Soesoo, 1997) فشار تشكیل کلینوپیروکسن‌ها را کمتر از دو کیلو بار نشان می‌دهد (شکل ۱۲). در ترمومتری کلینوپیروکسن فرض بر این قرار دارد که آنها با مذاب سازنده سنگ که معادل ترکیب کلی سنگ می‌باشد، در تعادل هستند (Mordic and Glazner, 2006).

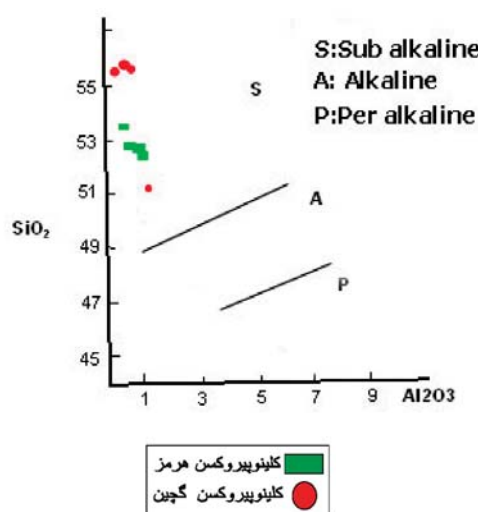
Nimis and Taylor (2000) به طور تجربی از کلینوپیروکسن‌های سنتزی برای کالیبراسیون در دماهای بین ۱۵۰۰-۸۵۰ درجه سانتی‌گراد و فشارهای ۶۰-۶۰ کیلو بار استفاده کرده و فرمول خود را ارائه دادند. به کمک این فرمول ترمومتری کلینوپیروکسن‌های مورد مطالعه انجام گرفت. این دما سنجی‌ها تا حدود ۳۰ درجه سانتی‌گراد خطای دارد. دماها در فشارهای یک و پنج کیلو بار محاسبه شده است (جدول ۳). کلینوپیروکسن‌های گندم نمکی گچین دمای تبلور بیشتری نسبت به کلینوپیروکسن‌های جزیره هرمز نشان می‌دهد، این مسئله را می‌توان به سطحی تربودن شرایط آتشفشنی حاکم بر سنگ‌های جزیره هرمز توجیه کرد.

$$T(\text{K}) = 23166 + 39.28^* \text{P}/13.25 + 15.35^* \text{Ti} + 4.50^* \text{Fe} - 1.55^*(\text{Al} + \text{Cr} - \text{Na} - \text{K}) + (\text{Lna}_{\text{en}}^{\text{cpx}})$$

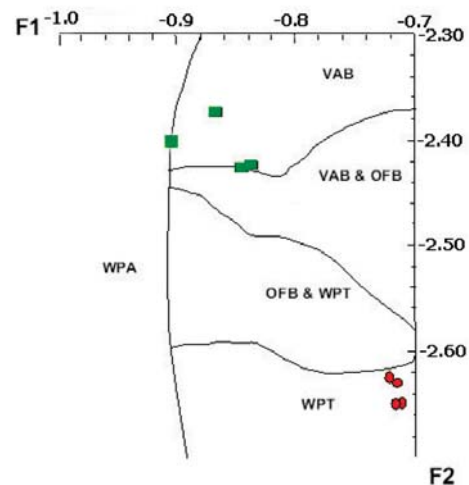
$$\text{a}_{\text{en}}^{\text{cpx}} = (1 - \text{Ca} - \text{Na} - \text{K})^* (1 - 1/2(\text{Al} + \text{Cr} + \text{Na} + \text{K}))$$



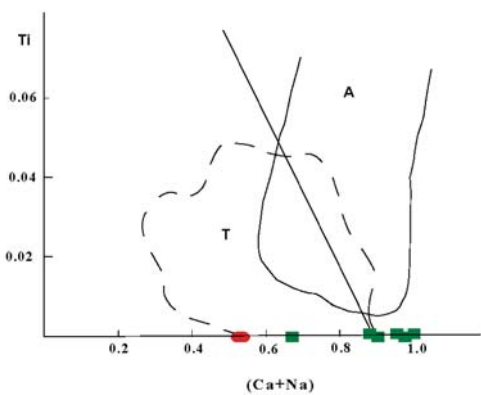
شکل ۱۲. محاسبه فشار تشكیل کلینوپیروکسن‌ها بر اساس فرمول Soesso, 1997، فشار تشكیل کلینوپیروکسن‌ها را کمتر از دو کیلو بار ارائه می‌دهد



شکل ۹. نمودار Qiu (1991) نقل از (Shao et al., 2000)



شکل ۱۰. نمودار F2 F1 متعلق به (Nisbet and Pearce, 1977)  
OFB=Ocean-floor basalts, VAB=Volcanic-arc basalts,  
WPT=intraplate Tholeiitic basalts, WPA=intraplate alkali basalts

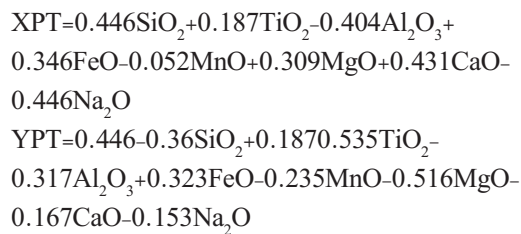


شکل ۱۱. نمودار Leterrier et al., 1982  
A: بازالت‌های آلkalan و  
T: بازالت‌های تولئیتی و کالک آلkalan

مرطوب گوشه‌تهی شده ایجاد و پس از صعود احتمالاً به مدت طولانی در پوسته توقف داشته و ماقمای سیلیسی و حدواسط را تولید کرده است. حضور ریولیت و بازالت در کنار هم می‌تواند دلیلی بر این امر باشد. در زمان تبلور کلینوپیروکسن، پلاژیوکلاز غنی از سدیم، اکسید آهن و اکسید تیتانیوم از ماقما متابلور شده‌اند و با در نظر گرفتن این امر که ماقمای مادر محتوی تیتانیوم کمی بوده است؛ با تبلور اکسید تیتانیوم و سرعت پائین تبلور، میزان این عنصر در کلینوپیروکسن‌ها به حد ناچیزی رسیده است.

## منابع

- احمدزاده، م، هوشمندزاده، ع.ا. و نبوی، م.ح.، ۱۳۶۹. مجموعه مقالات سمپوزیوم دیاپیریسم با نگرشی ویژه به ایران، جلد اول، ۲۲-۱.
- الیاسی، ج، امین سبحانی، الف، بهزاد، ع، معین وزیری، ح. و میثمی، ع.، ۱۳۵۵. زمین‌شناسی جزیره هرمز. مجموعه مقالات دومین سمپوزیوم زمین‌شناسی انجمن نفت ایران، ۷۲-۳۱.
- تقی‌پور، ص، ۱۳۸۶. مطالعات کانی‌شناسی و پترولوزیکی مجموعه‌های آذرین-تبخیری گندبهای نمکی زاگرس بلند (استان چهارمحال بختیاری). پایان‌نامه کارشناسی ارشد، دانشگاه اصفهان، ۱۲۳.
- جعفری صدر، ع.، ۱۳۷۰. زمین‌شناسی و پترولوزی مجموعه‌های آذرین و دگرگونی گندبندکی گچین (بندرعباس). پایان‌نامه کارشناسی ارشد، دانشگاه تهران، ۱۴۵.
- درویش زاده، ع.، ۱۳۶۹. مجموعه مقالات سمپوزیوم دیاپیریسم با نگرشی ویژه به ایران، جلد اول، ص ۱۰۸-۸۱.
- سبزه‌ای، م.، ۱۳۶۸. گزارش بررسی‌های زمین‌شناسخی و سنگ‌شناسخی گندبهای کاکان، کمهرو و کوه گون در منطقه یاسوج. اداره کل معدن و فلزات استان کهگیلویه و بویراحمد، گزارش داخلی، ۷۰.
- فخاری، م.، ۱۳۷۴. نقشه ۱/۲۵۰،۰۰۰ بندرعباس، جهت اخذ درجه دکتری تکتونیک دانشگاه آزاد اسلامی.
- شرکت ملی نفت ایران بخش اکتشافات زمین‌شناسی.
- مرادی، م.، ۱۳۸۲. تحولات پترولوزیکی واحدهای آذرین گندبهای نمکی سواحل و جزایر خلیج فارس. پایان‌نامه دکتری، دانشگاه تهران، ۲۶۲.
- نبوی، م. و سبزه‌ای، م.، ۱۳۶۷. نگرشی بر سازند



جدول ۳. دماهای محاسبه شده بر اساس درجه کلوین، کلینوپیروکسن‌های گندبند نمکی گچین و جزیره هرمز برمبنای فرمول (Nimis and Taylor, 2000) در فشارهای یک و پنج کیلو بار

	Sample	P= 1 kbar	P=5 kbar
گچین	G.N.A.C.2	۱۲۸۶/۷۴	۱۲۹۲/۴۰۵
	G.N.A.e.1	۱۲۵۹/۹۷	۱۲۶۵/۳۱۶
	G.N.A.e.2	۱۲۴۹/۷۷۶	۱۲۵۵/۷۵
	G.N.A.f.2.A	۱۲۷۴/۲۰۴	۱۲۷۹/۸۵۴
	G.N.A.f.2.C	۱۲۷۵/۳۴۲	۱۲۸۰/۵۵۲
جزیره هرمز	H.P.3.a	۱۲۰۶/۸۷	۱۲۱۲/۳۷۴
	H.P.3.b	۱۱۲۹/۰۹	۱۱۳۶/۷۳
	H.P.3.c	۱۱۲۴/۶۹	۱۱۳۱
	H.PX1	۱۱۶۲/۰۳۷	۱۱۷۰/۴۸۵
	H.PX2	۱۱۱۵/۶۷۴	۱۱۱۵/۸۰۲

## نتیجه‌گیری

با توجه به متاسوماتیسم گستردگ در منطقه و تاثیر شدید آن بر سنگ‌ها؛ جهت تشخیص منشا و محیط تکتونیکی سازند هرمز از ترکیب کلینوپیروکسن‌ها استفاده شد. در نمودارهای تفکیکی محیط تشکیل بازالت‌ها، نمونه‌های جزیره هرمز در محدوده تولیت‌های جزایر قوسی و نمونه‌های گندبند گچین در محدوده تولیت‌های درون صفحه‌ای قرار گرفتند. در نتیجه نسبت دادن یک محیط تکتونیکی به سازند هرمز با توجه به این نتایج امکان پذیر نیست. اعلام سرشت آلکالن برای ماقمای مادر سنگ‌های سازند هرمز با مطالعه انجام گرفته صحیح نمی‌باشد و تنها متاسوماتیسم آلکالن (خاکی) در منطقه رخ داده است که حضور نمک و آب‌های گرم از شرایط مهیاکننده آن هستند.

برمبنای مطالعه کلینوپیروکسن‌ها ماقمای مادر سیالی هموزن، تحت شرایط پایدار که سرعت سرد شدن آن بسیار آهسته و میزان آب آن بسیار ناچیز بوده است و چندین مرحله ذوب‌شدگی را پشت سر گذاشته است. از ذوب

- هرمز والگوبی نوبرای تشکیل گنبدهای نمکی در جنوب ایران.  
گزارش سازمان زمین‌شناسی و اکتشافات معدنی کشور، ۱۶.
- Akinin, V. V., Sobolev, A. V., Ntaflos, T. and Richter, W., 2005. Clinopyroxene megacrysts from Enmelen melanephelinitic volcanoes (Chukchi Peninsula, Rissia): application to composition and evolution of mantle melts, Contribution to Mineralogy and Petrology 150, 85-101.
  - Arvin, M., 1991. Clinopyroxene composition and genesis of basalts from coloured series and exotic blocks in the Neyriz area (southern Iran): A composition with haybi complex of Oman. Journal of Science I. R. Iran, Winter and Spring, 2, No. 1, 2.
  - Azomov. P. Ya. and Bushmin, S. A., 2007. Solubility of minerals of metamorphic and metasomatic rocks in hydrothermal solution of varying acidity: Thermodynamic modeling at 400-800°C and 1-5 Kbar, Geochemistry International, 45, No. 12, 1210-1234.
  - Blanford, W. T., 1972, Note on the geological formations seen along the coasts of Bondar, R. J., and Vityk, M. O., 1997, Interpretation of micro thermometric data for H<sub>2</sub>O-NaCl fluid inclusion in minerals: methods and applications short course of the working groups (IMA), inclusions of minerals, 117-130.
  - Bence, A. E., Papike, J. J. and Ayuso, R. A., 1975. Petrology of Atlantic Island Arcs. Bulletin of Volcanology, 32, 189-206.
  - Cathy, H. E. and Nash, B. P., 2009. Pyroxene thermometry of rhyolite lavas of Bruneau-Jarbridge eruptive center, Central Snake River Plain, Journal of Volcanology and Geothermal Research, 188, 173-185.
  - Coish, R. A., Taylor, L. A., 1979, The effects of cooling rate on texture and pyroxene chemistry in OSDP leg 34 basalt: a microrobe study, Earth and Paleontology Science latters, 42, 389-398.
  - Damascene, D., Scoates, J. S., Weis, D., Frey, F. A. and Giret, A., 2002. Mineral chemistry of midly alkali basalts from the 25 Ma Mont Crozier Section, Kerguelen Archipelago, constraints on phenocryst crystallization environments. Journal of Petrology, 43(7), 1389-1413.
  - Frey, M., 1987, Low temperature metamorphism, Chapman & hall. Gass, J. G., 1973, Intrusion, extrusion & metamorphism at constructive margins, Nature, 242, 522-545.
  - Johnson, KTM. And Dick, HJB., 1992. Melting in oceanic upper mantle: an ion microprobe study of diopsides in abyssal peridotites. Journal of Geophysical Research, 92, 2661-2678.
  - Le Bass, M. J., 1962, The role of aluminum in igneous clinopyroxene with relation to their parentage. American Journal of Science, 260, 267-288.
  - Leterrie, S., Maury, C. R., Thonon, P., Girard, D. and Mørchal, M., 1982. clinopyroxen composition as method of identification of the magmatic affinities of paleo-volcanic series. Earth and Planetary Science Letter, 51, 139-154.
  - Mollo, S., Del Gaudio, P., Venturea, G., Lezzi, G. and Scarlato, P., 2010. Dependence of clinopyroxene composition on cooling rate in basaltic magmas: Implications for thermobarometry, Lithos, 118, 302-312.
  - Mordic, B. E. and Glazner.A.F., 2006. Clinopyroxene thermometryof basalts from the Coaso and Big Pine volcanic fields, California, Contributions to Mineralogy and Petrology, 152, 111-124.

- Morimoto, N., 1989, Nomenclature of pyroxene, Canadian Mineralogist, 27, 143–156.
- Nimis, P. and Taylor, W. R., 2000. Single clinopyroxene thermometry for garnet peridotites, part 1, calibration and testing of cr-in-cpx barometer and an enstatite-in-Cpx thermometer. Contributions Mineral Petrology, 541–550.
- Nisbet, E. G., Pearce, J. A., 1977. Clinopyroxene composition in mafic lavas from different tectonic settings, Contributions to Mineralogy and Petrology, 63. 149–160.
- O'Learly, J. A., Gaetani, G. A. and Hauri, E. H., 2010. The effect of tetrahedral Al<sup>3+</sup>on the partitioning of water between clinopyroxene and silicate melt, Earth and Planetary Science Letters, 297, 110–120.
- Pearce, J. A. and M. J. Norry, 1979. Petrogenetic implication of Ti, Zr, Y, and Nb variation in volcanic rocks. Contrib. Mineral Petrology, 69: 33–47.
- Rogers, A. J. and Grutter, H. S., 2009. Fe-rich and Na-rich megacryst clinopyroxene and garnet from the Luxinga klmberlite cluster, Lunda Sul, Angola, Lithos, 1125, 942–950.
- Rollinson, H. R., 1993, Using geochemical data: evaluation, presentation, interpretation, Longman Scientific and Technical, UK. 352.
- Sazonova, L. V., Nosova, A. A., Narkossova, V. V. 2001. Zoning of clinopyroxenes from volcanoes by the example of the Devonian basalts of the Magnitogorsk Trough, South Ural, Zap. Vses. Mineral. O-va, 130(6), 80–95.
- Shao, J., Fengying, G. and Zhang, L., 2000, Coupling of mantle-upwelling and shearing Mesozoic dyke swarms in Da-Hinggan Mountains, northeast China.31ST International Geological congress, August 6–17, 2000, Episodes, 21, no. 2.
- Soesoo, A., 1997. A multivariate statistical analysis of clinopyroxen composition: empirical coordinates for the crystallisation PT estimations. geological Society of Sweden (Geolodiska Foreningen) 119055–60.
- Stone, S. and Niu, Y., 2009. Origin of compositionalternds in clinopyroxene of oceanic gabbros and gabbroic rocks: A case study using data from ODP Hole 735B, Journal of Volcanology and Geothermal Research, 189, 313–322.
- Talbot,C., Aftabi, Pedram., Chemia, zurab., 2009, potash in a salt mushroom at hormoz Island, hormoz strait, Iran, Ore Geology Reviews, 35, issues. 3, 317–332
- Viten, K. and Hamm, H., 1978. Additional notes on calculation of the crystal chemical formula of clinipyroxene and their content of Fe<sup>3+</sup> from microprobe analysis, Monoatshefte, Neues. Jahrb. Mineral., 71–83.
- Walthman, T., 2008. Salt terrains of Iran, Geology Today, Vol. 24, Issue, 5, p. 188–194.
- Wass, S. Y., 1979. Multiple origins of clinopyroxenes in alkalin basaltic rocks. Lithos, 12. 115–132.
- Wen, S., Zhendong, Y., Ruchengz, W, and Xianwen, L., 2001. Quartz and clinoenstatite exsolutions in clinopyroxene of garnet-pyroxe-nolite from the North Dabie Mountains, estern china, Chinese Science Bulletin, 46, No. 17, 1482–1492.